1 Метеорологические условия

1.1 Синоптический обзор

Кинематическая карта, приведенная на рис. 1-1, отражает траектории циклонов (синий цвет) и антициклонов (красный цвет) в течение месяца. Положение центров приведено за срок 00 ВСВ каждых суток. За барическими объектами закреплен номер, по которому из ниже следующей таблицы можно определить точные координаты и давление в центре объектов в срок 00 ВСВ каждых суток.

I декада августа 2025 г.

Японское море

В начале первой декады погодные условия над Японским морем определялись полем повышенного давления.

4 августа с Желтого моря на акваторию Японского моря переместился циклон с давлением в центре 998 гПа. Без развития со скоростью 40 км/ч он проследовал на северо-восток, 5 августа был над Хоккайдо с давлением в центре 1002 гПа. Усиления ветра и волн не наблюдалось.

6 августа на акваторию Японского моря с Восточного Китая распространилось поле низкого давления. На западную часть акватории вышел циклон глубиной 998 гПа. Циклон двигался на восток, северо-восток со скоростью 30 км/ч, углублялся, 7 числа переместился на Хоккайдо с давлением в центре 994 гПа. Скорость ветра над морем составляла 8-13 м/с, волнение - до 1-2 м.

В конце декады, 10 августа, погодные условия вновь определялись полем пониженного давления с циклоном глубиной 1002 гПа на юге акватории.

Охотское море

В течение первой декады над Охотским морем преобладала циклоническая деятельность.

В самом начале декады над морем наблюдалось поле пониженного давления. З августа с севера Хабаровского края переместилось ядро с давлением в центре 1010 гПа. Усиливаясь, оно медленно двигалось на восток, юго-восток. В конце суток 4 числа вышло на Камчатку с давлением в центре 1012 гПа.

5 августа на север Татарского пролива с Хабаровского края переместилась обширная депрессия с давлением в центре 996 гПа. Она медленно двигалась на северо-восток, 7 числа находилась вблизи северо-восточного побережья Сахалина с давлением в центре 998 гПа. В передней части депрессии ветер был свежим до 8–13 м/с, волнение – до 2 м. Депрессия заполнилась 8 числа над северо-западом акватории.

8 августа на южную часть Курильской гряды с Японского моря вышел циклон с давлением в центре 992 гПа. Циклон двигался на север, северо-восток со скоростью 40 км/ч, 8–9 числа находился над центральной частью Охотского моря с давлением в центре 996–998 гПа, перешел в стадию малоподвижной депрессии. 10 августа он незначительно углубился до 994 гПа, располагался над севером акватории. Скорость ветра с этим процессом возрастала до 12–17 м/с, волнение развивалось до 2–3 м.

Берингово море

1 августа на южную часть Берингова моря с Тихого океана вышел циклон с давлением в центре 982 гПа. Медленно двигаясь на север, 2 августа циклон установился над центральной частью акватории, перешел в стадию малоподвижной депрессии, начал заполняться. Скорость ветра в зоне действия циклона достигала 13–18 м/с, волнение развивалось до 2–3 м. 6 числа циклон заполнился, оставаясь над центральной частью моря.

Над западной частью акватории большую часть декады располагалось поле высокого давления. 6 числа в районе Командорских островов образовалось самостоятельное ядро с давлением в центре 1020 гПа. Усилившись до 1024 гПа, 8 числа оно переместилось в Тихий океан.

На место антициклона 9 августа на юго-западную часть моря вышел фронтальный развивающийся циклон с давлением в центре 1008 гПа. Циклон двигался в северо-восточном направлении со скоростью 30 км/ч, углубился до 994 гПа. Наблюдалось усиление ветра до 13-18 м/с, волнение развивалось до 2-3 м.

Северо-западная часть Тихого океана

Антициклон, который вышел на акваторию района с Охотского моря в конце июля, продолжал двигаться в юго-восточном, восточном направлении. Давление в его центре оставалось стабильным, около 1016 гПа. 4 числа он разрушился в районе с координатами 45° с. ш., 180° д.

Тропический циклон KROSA в стадии сильного тропического шторма с давлением в центре 975 гПа продолжал двигаться на север, северо-восток вблизи восточных берегов Японии, в конце суток 2 августа сменил направление движения на восточное, северо-восточное. Скорость перемещения нарастала от 15 до 40 км/ч. Максимальная скорость ветра вблизи центра шторма составляла 25 м/с, сильный ветер наблюдался на расстоянии 120–210 морских миль от центра. Волнение развивалось до 5–6 м. 3 числа циклон начал заполняться, деградировал до стадии тропического шторма с давлением в центре 980–985 гПа, но сильный ветер до 20–22 м/с и волнение 4–5 м ещё сохранялись. В срок 06 ВСВ 4 августа зафиксирована трансформация тропического циклона KROSA в циклон умеренных широт с давлением в центре 990 гПа. 5 числа по 44-й параллели он покинул восточное полушарие с давлением в центре 1000 гПа.

2 августа в район с координатами 30° с. ш., 139° в. д. вышел тропический циклон ВАІLU в стадии тропической депрессии с давлением 998 гПа. З августа наблюдалось развитие тропического циклона, он углубился до 994—996 гПа, получил статус тропического шторма. Двигался тропический шторм на северо-восток, 4 августа — на восток со скоростью 30—40 км/ч. 6 числа поднялся к 40-й параллели и втянулся в систему полярного фронта. В срок 00 ВСВ 6 августа зафиксирована его трансформация в циклон умеренных широт с давлением в центре 996 гПа, чуть позже — 1000 гПа. 7 числа по 45-й параллели циклон переместился в западное полушарие. Сильный ветер до 18 м/с наблюдался в зоне циклона вплоть до 6 августа, волнение достигало 3—4 м.

8 августа с Берингова моря на акваторию района скатился антициклон с давлением в центре $1022-1024\,$ гПа. Медленно двигаясь на юго-восток, в конце декады он находился в районе с координатами 40° с. ш., 180° д. с давлением в центре $1020\,$ гПа.

7 августа в гребне тихоокеанского антициклона в районе с координатами 32° с. ш., 173° в. д. образовалось ядро мощностью 1024 гПа. Незначительно меняя интенсивность, оно двигалось на запад, северо-запад со скоростью 20-30 км/ч. В конце декады находилось в районе 35° с. ш., 162° в. д. с давлением в центре 1022 гПа.

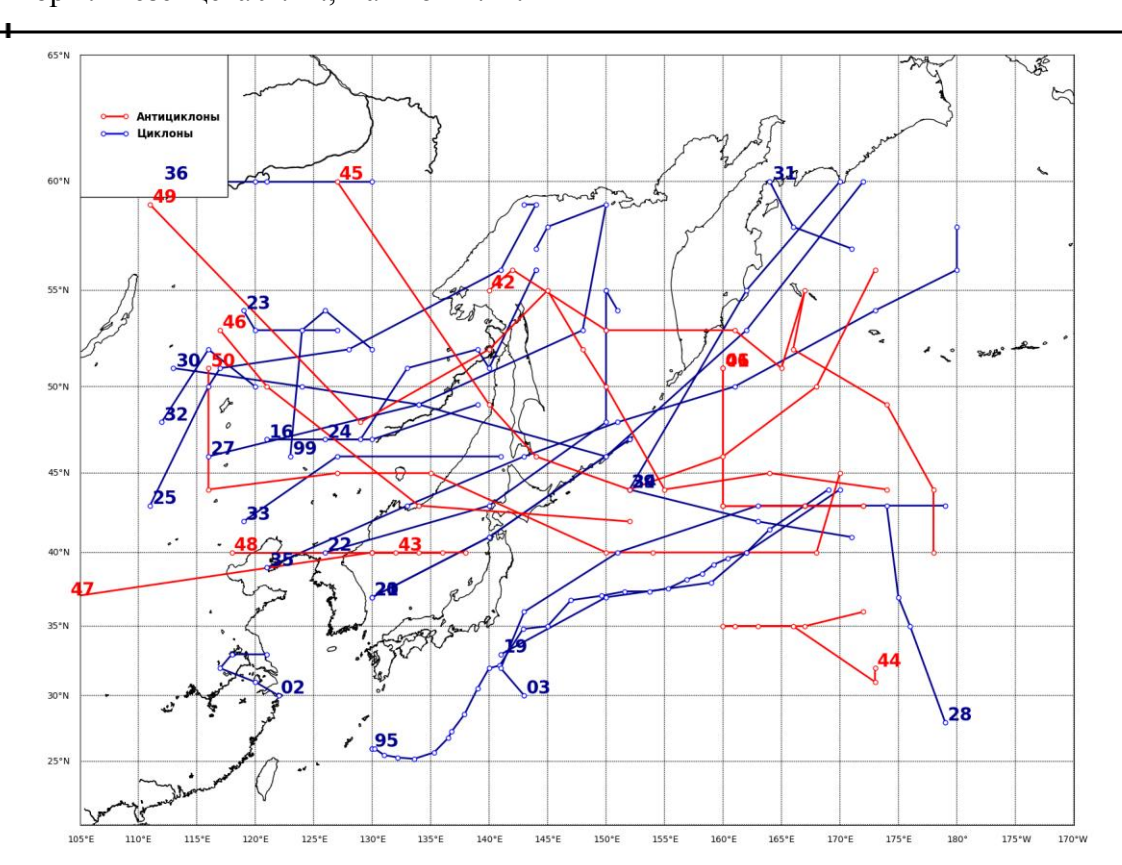


Рис. 1-1 Траектории движения циклонов и антициклонов в августе

К	Координаты центров циклонов и антициклонов и давление в их центрах в августе (в срок 00 ВСВ)										
		Циклоны	[Антициклоны						
Номер	Дата	Широта	Долгота	Давление	Номер	Дата	Широта	Долгота	Давление		
95	31.07.2025	26	130	996	6	31.07.2025	51	160	1012		
95	31.07.2025	26	130	996	6	01.08.2025	43	160	1014		
95	31.07.2025	26	130	996	6	02.08.2025	43	167	1016		
95	31.07.2025	25	131	996	6	03.08.2025	43	172	1016		
95	01.08.2025	25	132	996	41	31.07.2025	51	160	1012		
95	01.08.2025	25	133	996	41	01.08.2025	43	160	1014		
95	01.08.2025	25	135	996	41	02.08.2025	43	167	1016		
95	01.08.2025	26	136	996	41	03.08.2025	43	172	1016		
95	02.08.2025	27	136	996	42	02.08.2025	55	140	1002		
95	02.08.2025	28	137	996	42	03.08.2025	56	142	1006		
95	02.08.2025	30	139	996	42	04.08.2025	53	150	1010		
95	02.08.2025	32	140	996	42	05.08.2025	53	161	1012		
95	03.08.2025	32	140	996	42	06.08.2025	51	165	1014		
95	03.08.2025	34	142	994	42	07.08.2025	55	167	1014		
95	03.08.2025	35	145	996	42	08.08.2025	52	166	1020		
95	03.08.2025	36	147	996	42	09.08.2025	49	174	1024		
95	04.08.2025	37	149	996	42	10.08.2025	44	178	1022		
95	04.08.2025	37	151	996	42	11.08.2025	40	178	1020		
95	04.08.2025	37	153	996	43	01.08.2025	40	132	1004		

Координаты центров циклонов и антициклонов и давление в их центрах в августе (в срок 00 ВСВ)										
K	оординаты це			гициклонов і	и давлені 				всв)	
Howen	Дата	Циклоны Широта	Долгота	Давление	Цомор	Дата	мтициклог Широта	Долгота	Давление	
Номер 95	04.08.2025	37	155	996	Номер 43	02.08.2025	<u>широта</u> 40	130	1004	
95	05.08.2025	38	156	996	43	03.08.2025	40	136	1004	
95	05.08.2025	38	158	996	43	07.08.2025	32	173	1004	
95	05.08.2025	39	159	996	44	08.08.2025	31	173	1024	
95	05.08.2025	39	160	996	44	09.08.2025	35		1024	
95	06.08.2025	40	162	996		10.08.2025	35	166 163	1024	
95	06.08.2025	40	164	998	44 44	11.08.2025	35	161	1022	
95	06.08.2025	41	167	1000	44	12.08.2025	35		1020	
95		45						160	1020	
95	06.08.2025 29.07.2025	46	169 123	1000 994	44 44	13.08.2025 14.08.2025	35 36	167 172		
									1018	
99 99	30.07.2025	53 54	124 126	984 992	45 45	11.08.2025	60 49	127 140	1012 1012	
	31.07.2025					12.08.2025				
99	01.08.2025	52	130	998	45	13.08.2025	46	144	1018	
2	30.07.2025	30	122	980	45	14.08.2025	44	152	1020	
2	31.07.2025	31	120	990	45	15.08.2025	46	160	1022	
2	01.08.2025	32	117	996	45	16.08.2025	50	168	1022	
2	02.08.2025	33	118	998	45	17.08.2025	56	173	1022	
2	03.08.2025	33	121	996	46	16.08.2025	53	117	1014	
3	31.07.2025	30	143	980	46	17.08.2025	50	121	1018	
3	01.08.2025	32	141	975	46	18.08.2025	43	134	1016	
3	02.08.2025	36	143	975	46	19.08.2025	42	152	1018	
3	03.08.2025	40	151	980	47	10.08.2025	37	104	1006	
3	04.08.2025	43	163	990	47	11.08.2025	40	130	1008	
3	05.08.2025	43	179	1000	47	12.08.2025	40	134	1012	
16	02.08.2025	47	121	994	47	13.08.2025	40	138	1018	
16	03.08.2025	47	129	2025	48	14.08.2025	40	118	1014	
16	04.08.2025	51	133	2025	48	15.08.2025	40	130	1016	
16	05.08.2025	52	139	992	49	20.08.2025	59	111	1014	
16	06.08.2025	51	140	996	49	21.08.2025	48	129	1014	
16	07.08.2025	56	144	998	49	22.08.2025	52	140	1012	
16	08.08.2025	56	144	1006	49	23.08.2025	55	145	1014	
19	03.08.2025	33	141	996	49	24.08.2025	52	148	1016	
19	04.08.2025	37	150	996	49	25.08.2025	50	150	1018	
19	05.08.2025	38	159	996	49	26.08.2025	44	155	1020	
19	06.08.2025	40	162	996	49	27.08.2025	45	164	1020	
19	07.08.2025	44	170	1002	49	28.08.2025	44	174	1024	
20	04.08.2025	37	130	998	50	25.08.2025	51	116	1016	
20	05.08.2025	41	140	1002	50	26.08.2025	44	116	1016	
20	06.08.2025	47	152	1000	50	27.08.2025	45	127	1014	
21	04.08.2025	37	130	998	50	28.08.2025	45	135	1018	
21	05.08.2025	41	140	1002	50	29.08.2025	40	150	1018	
21	06.08.2025	47	152	1000	50	30.08.2025	40	154	1018	

Дата 5.08.2025 7.08.2025	нтров цикл Циклоны Широта 40			и давлені	ие в их центра А		<u> </u>	BCB)
5.08.2025 7.08.2025	Широта				A	нтишиклог	ны	
5.08.2025 7.08.2025	-	Долгота		Антициклоны				
7.08.2025	40		Давление	Номер	Дата	Широта	Долгота	Давление
		126	1000	50	31.08.2025	40	168	1016
0 00 2025	43	140	994	50	01.09.2025	45	170	1016
3.08.2025	48	150	992					
9.08.2025	53	150	998					
0.08.2025	55	150	994					
1.08.2025								
	54	119						
3.08.2025	53	120						
9.08.2025	53	127	1000					
9.08.2025	47	126	1000					
0.08.2025	47	130	1000					
1.08.2025	49	139	1002					
1.08.2025	43	111	998					
2.08.2025	50	116	996					
3.08.2025	51	117	1000					
1.08.2025	52	128	1002					
5.08.2025	56	141	992					
5.08.2025	59	144	998					
7.08.2025	59	143	1002					
5.08.2025	46	116	1002					
5.08.2025	49	134	1002					
7.08.2025	53	148	1000					
3.08.2025	59	150	996					
9.08.2025	58	145	998					
0.08.2025	57	144	1000					
1.08.2025	28	179	1008					
5.08.2025	35	176	1012					
5.08.2025	37	175	1012					
7.08.2025	43	174	1014					
3.08.2025	44	152	1004					
9.08.2025	55	162	1002					
0.08.2025	60	170	1002					
3.08.2025	51	113	1000					
0.08.2025	50	124	1002					
0.08.2025	49	134	1004					
1.08.2025	46	150	1002					
2.08.2025	53	162	988					
3.08.2025	60	172	992					
3.08.2025	60	164	1000					
1.08.2025	58	166	1002					
5.08.2025		171	1004					
2.7.3.3.3.3.3.3.3.3.3.3.3.3.3.3.3.3.3.3.	.08.2025 .08.2025	.08.2025 54 .08.2025 53 .08.2025 53 .08.2025 47 .08.2025 47 .08.2025 49 .08.2025 50 .08.2025 51 .08.2025 56 .08.2025 59 .08.2025 59 .08.2025 59 .08.2025 59 .08.2025 59 .08.2025 59 .08.2025 59 .08.2025 59 .08.2025 59 .08.2025 59 .08.2025 59 .08.2025 59 .08.2025 59 .08.2025 59 .08.2025 59 .08.2025 59 .08.2025 59 .08.2025 55 .08.2025 57 .08.2025 35 .08.2025 37 .08.2025 35 .08.2025 37 .08.2025 44 .08.2025 55	.08.2025 54 151 .08.2025 54 119 .08.2025 53 120 .08.2025 53 127 .08.2025 47 126 .08.2025 47 130 .08.2025 49 139 .08.2025 49 139 .08.2025 50 116 .08.2025 50 116 .08.2025 50 141 .08.2025 52 128 .08.2025 52 128 .08.2025 59 144 .08.2025 59 143 .08.2025 59 143 .08.2025 49 134 .08.2025 59 150 .08.2025 59 150 .08.2025 59 150 .08.2025 59 150 .08.2025 59 150 .08.2025 57 144 .08.2025 37 <td< td=""><td>.08.2025 54 151 1000 .08.2025 54 119 1002 .08.2025 53 120 996 .08.2025 53 127 1000 .08.2025 47 126 1000 .08.2025 47 130 1000 .08.2025 49 139 1002 .08.2025 43 111 998 .08.2025 50 116 996 .08.2025 50 116 996 .08.2025 51 117 1000 .08.2025 52 128 1002 .08.2025 52 128 1002 .08.2025 59 144 998 .08.2025 59 143 1002 .08.2025 59 143 1002 .08.2025 49 134 1002 .08.2025 59 150 996 .08.2025 58 145 998</td><td>.08.2025 54 151 1000 .08.2025 54 119 1002 .08.2025 53 120 996 .08.2025 53 127 1000 .08.2025 47 126 1000 .08.2025 47 130 1000 .08.2025 49 139 1002 .08.2025 43 111 998 .08.2025 50 116 996 .08.2025 51 117 1000 .08.2025 52 128 1002 .08.2025 52 128 1002 .08.2025 59 144 998 .08.2025 59 144 998 .08.2025 59 143 1002 .08.2025 59 144 1002 .08.2025 59 150 996 .08.2025 59 150 998 .08.2025 57 144 1000</td><td>.08.2025 54 151 1000 .08.2025 54 119 1002 .08.2025 53 120 996 .08.2025 53 127 1000 .08.2025 47 126 1000 .08.2025 47 130 1000 .08.2025 49 139 1002 .08.2025 43 111 998 .08.2025 50 116 996 .08.2025 51 117 1000 .08.2025 52 128 1002 .08.2025 52 128 1002 .08.2025 56 141 992 .08.2025 59 144 998 .08.2025 59 143 1002 .08.2025 46 116 1002 .08.2025 49 134 1002 .08.2025 59 150 996 .08.2025 58 145 998</td><td>.08.2025 54 151 1000 .08.2025 54 119 1002 .08.2025 53 120 996 .08.2025 53 127 1000 .08.2025 47 126 1000 .08.2025 47 130 1000 .08.2025 49 139 1002 .08.2025 50 116 996 .08.2025 50 116 996 .08.2025 51 117 1000 .08.2025 52 128 1002 .08.2025 56 141 992 .08.2025 59 144 998 .08.2025 59 143 1002 .08.2025 46 116 1002 .08.2025 49 134 1002 .08.2025 59 150 996 .08.2025 58 145 998 .08.2025 58 144 1000</td><td>0.8.2025 54 151 1000 08.2025 54 119 1002 08.2025 53 120 996 08.2025 53 127 1000 08.2025 47 126 1000 08.2025 47 130 1000 08.2025 47 130 1000 08.2025 49 139 1002 08.2025 49 139 1002 08.2025 43 111 998 08.2025 50 116 996 08.2025 50 116 996 08.2025 51 117 1000 08.2025 52 128 1002 08.2025 52 128 1002 08.2025 52 128 1002 08.2025 59 144 992 08.2025 59 144 998 08.2025 59 143 1002 08.2025 46 116 1002 08.2025 46 116 1002 08.2025 59 150 996 08.2025 59 150 996 08.202</td></td<>	.08.2025 54 151 1000 .08.2025 54 119 1002 .08.2025 53 120 996 .08.2025 53 127 1000 .08.2025 47 126 1000 .08.2025 47 130 1000 .08.2025 49 139 1002 .08.2025 43 111 998 .08.2025 50 116 996 .08.2025 50 116 996 .08.2025 51 117 1000 .08.2025 52 128 1002 .08.2025 52 128 1002 .08.2025 59 144 998 .08.2025 59 143 1002 .08.2025 59 143 1002 .08.2025 49 134 1002 .08.2025 59 150 996 .08.2025 58 145 998	.08.2025 54 151 1000 .08.2025 54 119 1002 .08.2025 53 120 996 .08.2025 53 127 1000 .08.2025 47 126 1000 .08.2025 47 130 1000 .08.2025 49 139 1002 .08.2025 43 111 998 .08.2025 50 116 996 .08.2025 51 117 1000 .08.2025 52 128 1002 .08.2025 52 128 1002 .08.2025 59 144 998 .08.2025 59 144 998 .08.2025 59 143 1002 .08.2025 59 144 1002 .08.2025 59 150 996 .08.2025 59 150 998 .08.2025 57 144 1000	.08.2025 54 151 1000 .08.2025 54 119 1002 .08.2025 53 120 996 .08.2025 53 127 1000 .08.2025 47 126 1000 .08.2025 47 130 1000 .08.2025 49 139 1002 .08.2025 43 111 998 .08.2025 50 116 996 .08.2025 51 117 1000 .08.2025 52 128 1002 .08.2025 52 128 1002 .08.2025 56 141 992 .08.2025 59 144 998 .08.2025 59 143 1002 .08.2025 46 116 1002 .08.2025 49 134 1002 .08.2025 59 150 996 .08.2025 58 145 998	.08.2025 54 151 1000 .08.2025 54 119 1002 .08.2025 53 120 996 .08.2025 53 127 1000 .08.2025 47 126 1000 .08.2025 47 130 1000 .08.2025 49 139 1002 .08.2025 50 116 996 .08.2025 50 116 996 .08.2025 51 117 1000 .08.2025 52 128 1002 .08.2025 56 141 992 .08.2025 59 144 998 .08.2025 59 143 1002 .08.2025 46 116 1002 .08.2025 49 134 1002 .08.2025 59 150 996 .08.2025 58 145 998 .08.2025 58 144 1000	0.8.2025 54 151 1000 08.2025 54 119 1002 08.2025 53 120 996 08.2025 53 127 1000 08.2025 47 126 1000 08.2025 47 130 1000 08.2025 47 130 1000 08.2025 49 139 1002 08.2025 49 139 1002 08.2025 43 111 998 08.2025 50 116 996 08.2025 50 116 996 08.2025 51 117 1000 08.2025 52 128 1002 08.2025 52 128 1002 08.2025 52 128 1002 08.2025 59 144 992 08.2025 59 144 998 08.2025 59 143 1002 08.2025 46 116 1002 08.2025 46 116 1002 08.2025 59 150 996 08.2025 59 150 996 08.202

К	оординаты це	ентров цик	лонов и ант	гициклонов	и давлени	іе в их центі	рах в август	е (в срок 00	BCB)	
		Циклоны		·	Антициклоны					
Номер	Дата	Широта	Долгота	Давление	Номер	Дата	Широта	Долгота	Давление	
32	21.08.2025	48	112	994						
32	22.08.2025	52	116	992						
32	23.08.2025	50	120	1004						
33	21.08.2025	42	119	1000						
33	22.08.2025	46	127	998						
33	23.08.2025	46	141	1002						
34	24.08.2025	44	152	1006						
34	25.08.2025	42	163	1006						
34	26.08.2025	41	171	1010						
35	25.08.2025	39	121	1008						
35	26.08.2025	43	133	1002						
35	27.08.2025	46	143	992						
35	28.08.2025	48	151	984						
35	29.08.2025	50	161	982						
35	30.08.2025	54	173	982						
35	31.08.2025	56	180	982						
35	01.09.2025	58	180	986						
36	26.08.2025	60	112	1008						
36	27.08.2025	60	120	1006						
36	28.08.2025	60	121	1006						
36	29.08.2025	60	130	1004						

II декада августа 2025 г.

Японское море

В начале второй декады над Японским морем установилось поле повышенного давления. По центральной части акватории, усиливаясь, в восточном направлении медленно перемещался антициклон с давлением в центре $1008\ \Gamma\Pi a.\ 13$ августа он покинул акваторию моря с давлением в центре $1018\ \Gamma\Pi a.$

14 августа с районов Северной Кореи в Японское море вышел циклон с давлением в центре 1010 гПа. Он двигался на восток, северо-восток со скоростью 40 км/ч, не вызывая усиления ветра и волн, 15 августа через Хоккайдо переместился к южным островам Курильской гряды с давлением в центре 1006 гПа. В тылу циклона восстановилось поле повышенного давления.

16-17 августа над севером Татарского пролива проследовал циклон с давлением в центре 1002 гПа. Большая часть акватории находилась под воздействием ложбины и фронтального раздела этого циклона. Ветер над северной частью акватории усиливался до 10-12 м/с, волнение развивалось до 1-2 м.

18 числа с материка на северную часть моря скатилось ядро с давлением в центре1016 гПа. Со скоростью 40 км/ч, не меняя интенсивности, оно пересекло акваторию моря, 19 августа было уже над северо-западной частью Тихого океана. В конце декады погодные условия вновь определялись полем пониженного давления.

Охотское море

Циклон, который развивался над Охотским морем в конце первой декады, 11 августа переместился к побережью Камчатки, заполнялся, уже не вызывая сильного ветра и волнения. Окончательно заполнился 12 числа.

13 августа с Татарского пролива на южную часть моря вышло ядро мощностью 1018 гПа. В конце суток через южные Курилы оно переместилось в Тихий океан с давлением в центре 1020 гПа.

15 августа с территории Хабаровского края на северо-западную часть Охотского моря вышел обширный циклон глубиной 992 гПа. Перешел в стадию малоподвижной депрессии, постепенно заполнялся, 17 числа перестал прослеживаться на картах погоды. 15–16 августа на восточной периферии циклона ветер достигал 12–17 м/с, волнение развивалось до 2–3 м.

17 августа на западную часть акватории вышел циклон с давлением в центре 1002 гПа. Смещаясь на северо-восток, север со скоростью 30–40 км/ч, он углублялся. Приблизившись к северному побережью моря, замедлил движение, давление в его центре к концу суток понизилось до 996 гПа. 18 августа циклон медленно двигался на запад, юго-запад, затем — на юго-восток. В конце декады находился в районе с координатами 46° с. ш., 145° в. д. с давлением в центре 1002 гПа. Скорость ветра с этим процессом не превышала 8–13 м/с, волнение — до 2 м.

В период 19-20 августа над южной частью моря со скоростью 40 км/ч проследовал циклон с давлением в центре 1000-1002 гПа. 20 августа через юг Камчатки он перевалил на акваторию северо-западной части Тихого океана. Ветер и волнение не превышали 8-13 м/с и 2 м соответственно.

Берингово море

Циклон, который в конце первой декады вышел на юго-западную часть моря, продолжал двигаться на восток, северо-восток со скоростью 30 км/ч. 11 августа давление в его центре составляло 990 гПа, в дальнейшем он заполнялся. 14 августа циклон переместился на Аляску с давлением в центре 1004 гПа. В период 11–12 августа в зоне циклона ещё сохранялся сильный ветер до 13–18 м/с, волнение до 2–3 м.

14 числа с Чукотки на акваторию моря скатилось ядро мощностью 1016 гПа. Двигаясь на восток, юго-восток со скоростью 40 км/ч, оно усиливалось, 15 августа через восточную часть Алеутской гряды переместилось в Тихий океан с давлением в центре 1028 гПа.

В период 15–18 августа большую часть акватории моря занимала область повышенного давления. 16–17 числа по центральной части моря со скоростью 30 км/ч в восточном направлении проследовало ядро мощностью 1022 гПа. 18 августа оно замедлило движение над восточной частью акватории, а 20 числа скатилось на северо-восточную часть Тихого океана с давлением в центре 1024 гПа. Исключением в этот период являлись акватории вблизи центральной и восточной частей Алеутской гряды, где погодные условия определялись частным циклоном. Последний проследовал над грядой 16–17 августа с давлением в центре 1018–1020 гПа. Значительного усиления ветра и волн он не обусловил.

19 августа на западную часть Берингова моря вышел циклон с давлением в центре $1002 \, \text{гПа}$. Он двигался на северо-восток со скоростью $30 \, \text{км/ч}$ без изменения интенсивности, $20 \, \text{августа}$ был над северо-западным побережьем моря. Ветер в зоне действия циклона усиливался до $9{\text -}14 \, \text{m/c}$, волнение — до $2 \, \text{m}$.

Северо-западная часть Тихого океана

В течение второй декады над большей частью района преобладало поле повышенного давления. Циклоническая деятельность была слабой.

В гребне тихоокеанского антициклона, располагавшегося между 30-й и 40-й параллелями, в начале декады сохранялся малоподвижный антициклон с давлением в центре 1020 гПа. Он разрушился 14 августа.

14 числа с Охотского моря в Тихий океан вышло ядро с давлением в центре 1020 гПа. Без значительного изменения интенсивности, оно двигалось на восток, северо-восток со скоростью 20 км/ч, 17 числа переместилось на акваторию Берингова моря.

Циклон глубиной 1006 гПа, он образовался 12 августа в районе с координатами 43° с. ш., 155° в. д., двигался на северо-восток со скоростью 30–40 км/ч. В период 12–13 августа на его южной периферии наблюдалось усиление ветра до 10-15 м/с, волнение – до 2-3 м. 16 числа циклон перемещался в Берингово море с давлением в центре 1018 гПа.

18 августа вблизи о. Хоккайдо на полярном фронте образовался циклон с давлением в центре 1004 гПа. Он двигался на северо-восток, север со скоростью 50 км/ч, 19 августа был над Беринговым морем с давлением в центре 1002 гПа. Ветер в зоне циклона не превышал 9-14 м/с, волнение – до 2 м.

18 августа в северо-западную часть Тихого океана с Японского моря вышло ядро с давлением 1016 гПа. Незначительно усилившись, до 1018 гПа, оно двигалось на северо-восток со скоростью 40 км/ч. 19 августа пополнило тихоокеанский максимум, утратив самостоятельную циркуляцию.

III декада августа 2025 г.

Японское море

В начале третьей декады над Японским морем располагалось поле повышенного давления. 23 числа по северу акватории проследовал неглубокий циклон с давлением в центре 1002 гПа.

26 августа над северной частью акватории со скоростью 30 км/ч прошел еще один циклон с давлением в центре 1000–1002 гПа. В конце суток он был уже над проливом Лаперуза с давлением 996 гПа. На акватории моря ветер усиливался до 9–14 м/с, волнение возрастало до 2 м. В тылу циклона восстановилось поле повышенного давления.

В конце декады, 29–30 августа, над северной половиной моря прошел неглубокий циклон с давлением 1008 гПа, не вызвавший усиления ветра и волн.

Охотское море

В начале декады, 21 августа, над Охотским морем сохранялось поле пониженного давления. Циклон, располагавшийся над севером акватории, заполнился. Южная часть моря находилась под воздействием фронтального развивающегося циклона, быстро проследовавшего над крайней южной частью моря на восток. Значительного усиления ветра и волн не отмечалось.

22 числа над большей частью акватории установилось поле высокого давления. Ядро с давлением в центре 1014 гПа, переместившееся на западную часть моря с Хабаровского края, медленно двигалось в юго-восточном направлении, усиливалось. 25 августа через центральные Курилы оно покинуло акваторию моря с давлением в центре 1020 гПа. 23 августа на юго-западе моря поле высокого давления перебивалось неглубоким циклоном с давлением в центре 1002 гПа (рис. 1-2), проследовавшим над югом акватории на восток со скоростью 40 км/ч.

25 августа на северо-запад моря вышло ядро с давлением в центре 1018 гПа. Со слабыми вариациями давления, оно сохранялось над этой частью акватории вплоть до 30 августа. 31 августа скатилось в Тихий океан с давлением в центре 1016 гПа.

27 числа на южную часть акватории с Японского моря переместился циклон с давлением в центре 992 гПа. Двигаясь на восток, северо-восток со скоростью 20–30 км/ч, он углублялся; 28

августа перевалил через северные Курилы в Тихий океан с давлением в центре 982~гПа, вызвав усиление ветра до 18-23~м/c, волнение до 4-5~м. В тылу циклона восстановилось поле высокого давления.

Берингово море

В начале декады над Беринговым море наблюдалось поле повышенного давления.

- 22 августа на западную часть акватории вышел циклон с давлением в центре 988 гПа, обуславливая усиление ветра до 15-20 м/с, волнение до 3-4 м. 23 августа циклон находился вблизи северо-западного побережья, перешел в стадию малоподвижного старого барического образования (рис. 1-2). 25 числа он заполнился.
- 25 августа на центральную часть акватории вышел развивающийся южный циклон с давлением в центре 1000 гПа. Двигаясь на север, северо-восток со скоростью 50–60 км/ч, он углублялся, достиг глубины 988 гПа. 26 числа циклон переместился на Аляску с давлением в центре 990 гПа. В зоне циклона наблюдались сильный ветер до 15–20 м/с, волнение до 3–4 м.
- 30 числа на южную часть моря вышел следующий циклон с давлением в центре 982 гПа. Двигался на север, северо-восток со скоростью 20 км/ч, в конце декады находился в районе с координатами 57° с. ш., 180° д. глубиной 984 гПа. Скорость ветра на акватории моря достигала 18–23 м/с, волнение до 4–5 м.

Северо-западная часть Тихого океана

- В течение третьей декады над акваторией северо-западной части Тихого океана доминировало поле высокого давления. Обширный гребень тихоокеанского антициклона, центр которого располагался в западном полушарии, распространялся до берегов Японии. С Японского моря на акваторию района выходили ядра, их мощность составляла 1016—1018 гПа. Преимущественно без развития со скоростью 20—30 км/ч они перемещались на восток, пополняя тихоокеанский максимум.
- 25 августа с Охотского моря вышло ядро с давлением в центре 1020 гПа. Усиливаясь, оно двигалось на восток со скоростью 30–40 км/ч, 28 числа по 42-й параллели покинуло восточное полушарие с давлением в центре 1028 гПа.
- В течение декады преимущественно над северо-западной частью района проследовало несколько циклонов. Так, 21 августа с Охотского моря вышел циклон с давлением в центре 1002 гПа. Он двигался на север, северо-восток со скоростью 50–60 км/ч, 22 августа переместился на акваторию Берингова моря с давлением в центре 988 гПа. В зоне действия циклона наблюдалось усиление ветра до 15–20 м/с, волнение до 3–4 м.
- 23 числа с юга Охотского моря переместился неглубокий циклон с давлением в центре $1006\ r\Pi a$. Без развития он двигался на восток со скоростью $30\ km/ч$, не вызывая значительного усиления ветра и волн. $27\ a$ вгуста по 40-й параллели переместился в западное полушарие с давлением в центре $1010\ r\Pi a$.
- 28 августа с Охотского моря вышел циклон с давлением в центре 982 гПа. Обогнув Камчатку, не меняя интенсивности, 30 числа он был в Беринговом море. Скорость ветра в зоне циклона достигала 18-23 м/с, волнение развивалось до 5-6 м.

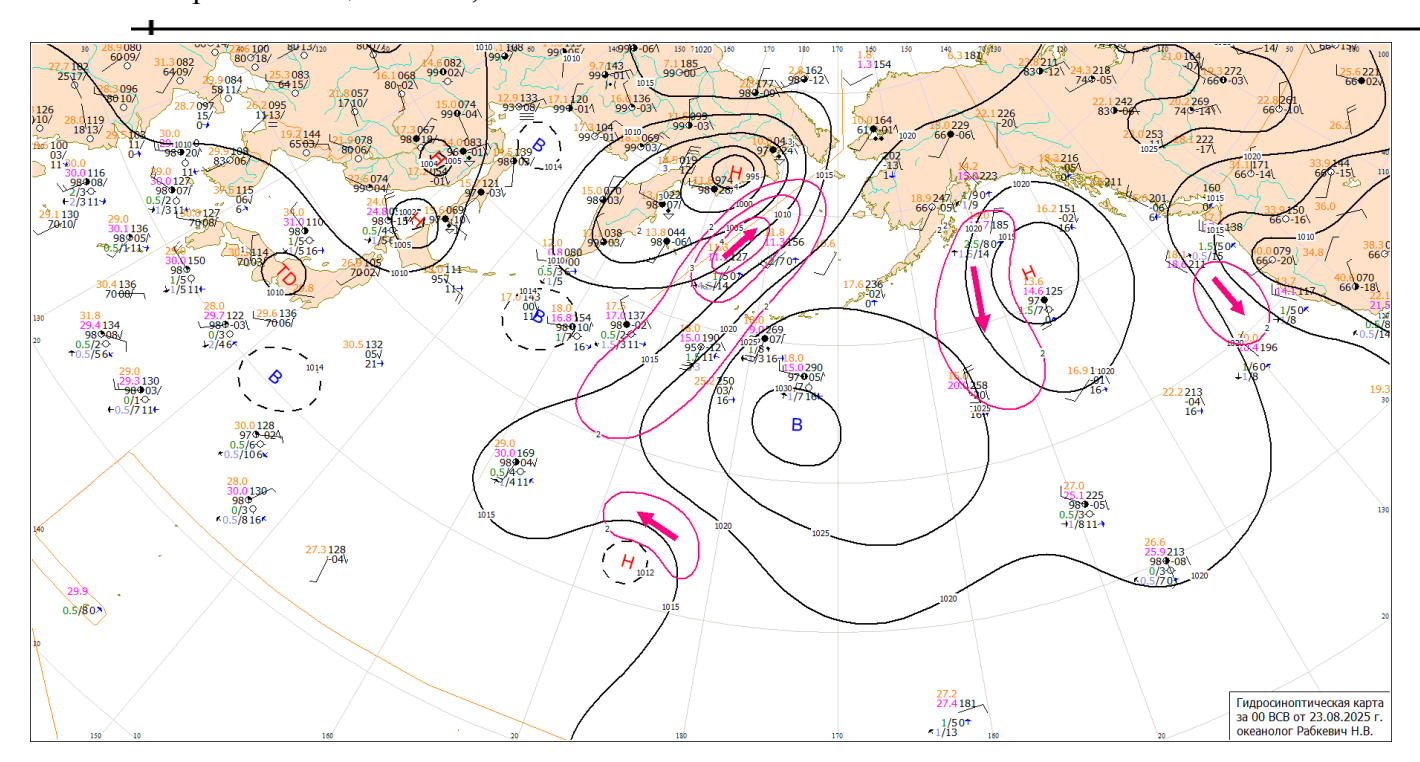


Рис. 1-2 Приземная карта за 00 BCB 23 августа 2025 г.

1.2 Анализ термобарических полей

Карты термобарических полей месячного разрешения над районом обзора построены на основе данных реанализа NCEP/NCAR, приведены ниже на рис. 1-3–1-5. Анализ термобарических полей выполнен на базе средних за месяц карт барической топографии для стандартного изобарического уровня 500 гПа, давления на уровне моря и температуры воздуха на стандартном изобарическом уровне 850 гПа. Аномалии рассчитаны относительно средних многолетних значений за период 1981–2010 гг.

Региональный обзор

В умеренных широтах, как и в июле, сохранялась высокая зональность атмосферных процессов, меридиональные циркуляции были подавлены. Высотная фронтальная зона умеренных широт, находящаяся между 40 и 50° с. ш., была относительно напряженной. Этому способствовало наличие избыточного тепла в тропической и субтропической зонах — они заняты положительными аномалиями геопотенциальных высот H_{500} до +2...+4 дам. Прилегающие к высотной фронтальной зоне умеренных широт субполярные районы, наоборот, были в зоне относительного холода с отрицательными аномалиями геопотенциальных высот H_{500} до -2...-3 дам. Арктическая высотная фронтальная зона была вытеснена на моря арктического шельфа, тоже напряженная. Над Центральной Сибирью она значительно деформирована обширным пологим гребнем с большим запасом тепла, в его области аномалии геопотенциальных высот H_{500} превышали +10...+15 дам (рис. 1-3).

У земной поверхности над умеренными и прилегающими субполярными районами Восточной Азии циклоническая деятельность по-прежнему оставалась активной, на что указывают среднее поле атмосферного давления (рис. 1-4) и распределение аномалий (в этой широтной зоне преобладали отрицательные аномалии атмосферного давления до -1...-2 гПа). При этом над арктическим побережьем материка установился обширный антициклон, с центром над полуостровом Таймыр. Атмосферное давление между бассейнами Лены и Енисея в зоне действия антициклона превышало норму на 3-7 гПа. В течение месяца циклоническая циркуляция оставалась доминирующей над Охотским морем и большей частью Японского и Берингова морей. Над Охотским морем атмосферное давление в среднем за месяц ниже нормы на 1-3 гПа. Тихоокеанский антициклон оставался главной барической системой над акваторией океана, что соответствует сезону. Наибольшее развитие получил его западный отрог, ориентированный на юго-восточный Китай, с аномалиями атмосферного давления до +2...+4 гПа. Северная периферия антициклона, наоборот, была деградирована. Здесь тихоокеанский максимум уступил позиции циклонической деятельности, на это указывает преобладание отрицательных аномалий атмосферного давления до -1...-2 гПа (рис. 1-4).

Японское море

В средней тропосфере над Японским морем сохранялся устойчивый западно-восточный перенос воздуха. Воздушная масса над южной половиной моря оставалась теплой, аномалии геопотенциальных высот H_{500} здесь выше нормы на 1-3 дам. Север акватории попал под влияние относительно холодного воздуха с отрицательными аномалиями геопотенциальных высот H_{500} до -2...-3 дам.

У земной поверхности большая часть моря, кроме крайних южных районов, испытывала воздействие поля низкого давления. Фон атмосферного давления ниже нормы на 1-3 гПа, лишь на юге акватории он близок к норме.

Температура воздуха на уровне H_{850} (нижняя тропосфера) над морем была распределена от +19 °C на юге до +11 °C на севере. Это состояние незначительно выше нормы, примерно на 1 °C. В течение месяца температура воздуха над акваторией моря понизилась на 1–3 °C.

Охотское море

В средней тропосфере над северной половиной Охотского моря в среднем за месяц установилось малоградиентное поле пониженного давления. Над южной частью акватории преобладал западно-восточный перенос воздуха. Над большей частью акватории воздушная масса была относительно холодной — сформировались отрицательные аномалии геопотенциальных высот поверхности H_{500} до -3 дам. Лишь крайний северо-восток моря находился в зоне положительных аномалий геопотенциальных высот (воздушная масса была относительно теплая).

У земной поверхности вся акватория моря оставалась под воздействием депрессионного поля; фон атмосферного давления ниже нормы на 1-3 г Π а.

Температура воздуха в нижнем слое тропосферы на уровне H_{850} над морем распределена от +15 °C на юге до +7 °C на северо-востоке. Это состояние для большей части акватории близко к норме, на севере и крайнем юге моря незначительно превышает норму, примерно на 1 °C. В течение месяца температура воздуха над морем понизилась на 1-3 °C.

Берингово море

В средней тропосфере над морем наблюдался слабый западно-восточный перенос воздуха. Воздушная масса была относительно теплой — преобладали положительные аномалии геопотенциальных высот поверхности H_{500} до +2...+3 дам.

У поверхности земли большая часть моря оставалась под воздействием депрессионного поля. Преобладали отрицательные аномалии атмосферного давления до -1...-3 гПа. На севере акватории и на востоке фон атмосферного давления незначительно превышал норму.

Температура воздуха в нижнем слое тропосферы на уровне H_{850} над морем распределена от +9 на юго-востоке до +4 °C на севере. Это состояние для большей части акватории выше нормы на 1-2 °C. За месяц температура воздуха над морем изменилась незначительно, в пределах ± 1 °C.

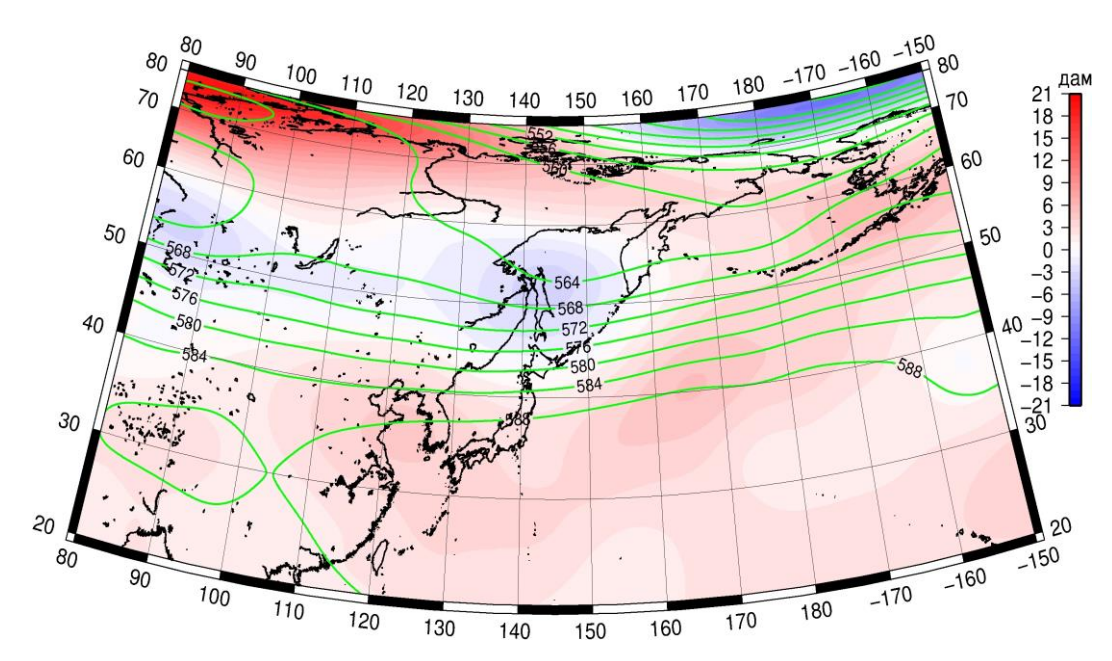


Рис. 1-3 Среднее поле H_{500} (изогипсы) и его аномалии (изополосы) в августе 2025 г. (дам)

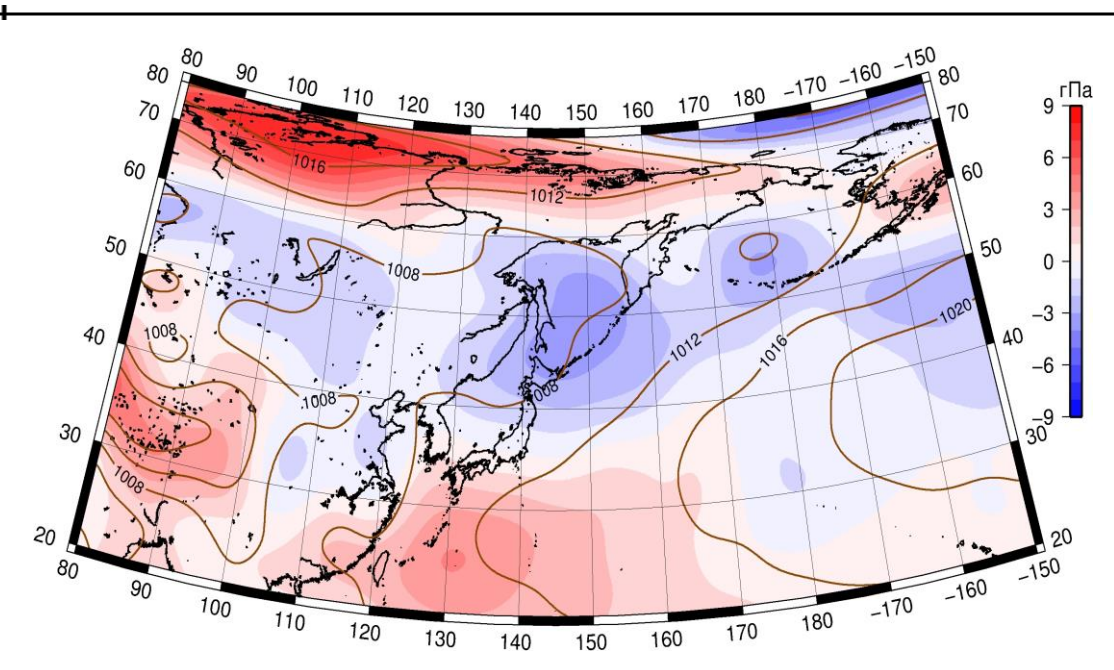


Рис. 1-4 Среднее поле атмосферного давления у поверхности земли (изобары) и его аномалии (изополосы) в августе 2025 г. (гПа)

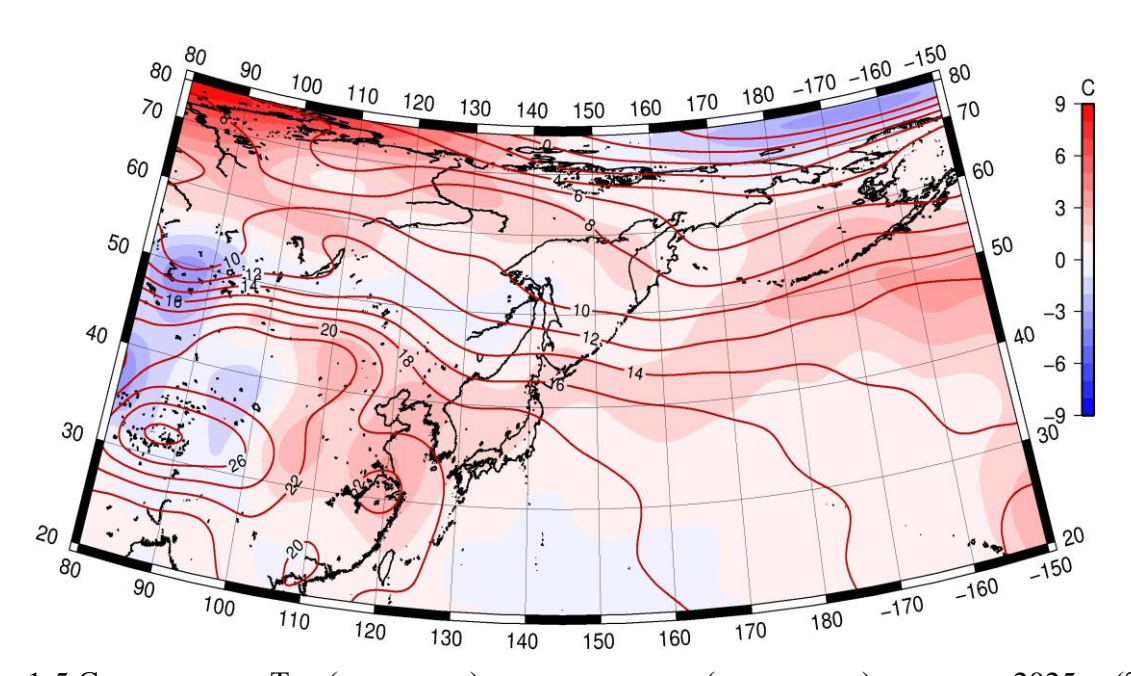


Рис. 1-5 Среднее поле T_{850} (изотермы) и его аномалии (изополосы) в августе 2025 г. (°С)

1.3 Региональные индексы циркуляции атмосферы

1.3.1 Зональный и меридиональный перенос воздуха над II е. с. р.

Характеристика основных воздушных течений в средней и нижней тропосфере за август 2025 г. выполнена на основе индексов атмосферной циркуляции, приведенных ниже в таблице и на рис. 1-6-1-8. В данном разделе для характеристики индексов принята следующая терминология: норма — ± 0.3 STD относительно нормы; незначительное отклонение от нормы — $\pm (0.4-0.7)$ STD; значительное отклонение от нормы — ≥ 2.0 STD. Аномалии рассчитаны относительно средних многолетних значений (нормы) за период 1981-2010 гг.

Японское море

В августе над Японским морем во всем слое тропосферы доминировал западно-восточный перенос воздуха (значения зональных индексов положительные). Его интенсивность превышала норму (Кz равен 1,3STD и 0,8STD соответственно в средней тропосфере и у поверхности земли).

Интенсивность межширотного обмена была слабой (|Km| равен -1,3STD как в среднем слое, так и у поверхности земли), что определялось деградацией южной составляющей обмена (|Km| равен -0,9STD и -1,3STD соответственно в средней тропосфере и у поверхности земли). В среднем за месяц во всем слое тропосферы сформировалось незначительное преобладание движений воздуха с юга (значения меридиональных индексов положительные).

Охотское море

Над Охотским морем во всем слое тропосферы сохранялось преобладание движений воздуха с запада на восток (значения зональных индексов положительные). Их интенсивность была близка к норме в средней тропосфере (Kz - -0.2STD) и ниже нормы — в нижнем слое (Kz равен -1,1STD).

Интенсивность межширотного обмена в средней тропосфере над Охотским морем была слабой, что определялось деградацией северной составляющей обмена (|Km| равен -1,3STD, Km - 1,0STD). У поверхности земли интенсивность межширотного обмена близка к климатической, многолетний баланс между меридиональными составляющими незначительно нарушен в пользу южной составляющей обмена (|Km| равен -0,2STD, Km - 0,5STD). В среднем за месяц во всем слое тропосферы преобладали движения воздуха с юга (значения индексов положительные).

Берингово море

Над Беринговым морем во всем слое тропосферы преобладал перенос воздуха с запада на восток (значения зональных индексов положительные); его интенсивность была близка к норме в средней тропосфере и незначительно ниже нормы у поверхности земли (Kz равен -0,1STD и -0,5STD соответственно).

Интенсивность межширотного обмена в средней тропосфере над Беринговым морем была слабой, многолетний баланс между меридиональными составляющими незначительно нарушен в пользу южной составляющей обмена (|Km| равен -1,3STD, Km-0,5STD). У поверхности интенсивность межширотного обмена и многолетний баланс между меридиональными составляющими близки к норме (|Km| равен 0,0STD, Km-0,2STD). В течение месяца во всем слое тропосферы над морем преобладали движения воздуха с юга (значения меридиональных индексов положительные).

Индексы циркуляции атмосферы и их аномалии по II е. с. р.

II 14	Уровень		Июнь			Июль			Август	
Индекс*	(высота)	значение	ASTD**	STD**	значение	ASTD**	STD**	значение	ASTD**	STD**
Кz Ям		13407	1.4	2632	9713	0.1	2519	15377	1.3	2964
Кz Ом		7754	1.1	2529	9378	1.5	2365	9124	-0.2	2570
Кz Бм		7483	1.1	3172	7436	0.4	2603	9475	-0.1	3235
Kz 35_50		13214	0.2	1068	10076	-0.3	1303	12073	0.7	1644
Kz 50_70		6618	1.5	1103	5356	0.3	1452	5428	-0.8	1560
Kz 35_70	1	9456	1.6	537	7078	-0.3	702	8088	-0.3	829
Кт Ям		1083	1.0	1370	1287	0.9	1051	120	-0.9	1319
Кт Ом		232	1.4	1387	-1257	0.0	1246	464	1.0	1483
Кт Бм	500 гПа	-516	0.1	1155	400	0.7	726	1058	0.5	1165
Km 35_50	300 IIIa	-280	0.3	379	233	0.0	169	404	0.6	366
Km 50_70		-664	-0.7	356	29	1.2	232	-125	0.1	392
Km 35_70		-448	-0.3	299	126	0.9	173	81	0.3	287
Кт Ям		1696	-0.4	1017	1808	0.0	838	773	-1.3	1228
Кт Ом		1579	-1.1	1698	2092	-0.6	1384	1668	-1.3	1075
Кт Бм		3880	0.3	1368	2635	-0.3	1193	2119	-1.3	984
Km 35_50		2353	-0.9	486	1375	-1.3	645	1143	-2.3	565
Km 50_70		2925	-0.5	764	1562	-1.8	596	2133	-1.0	629
Km 35_70		2662	-0.8	568	1459	-1.9	539	1708	-1.9	459
Кz Ям		4252	2.3	1091	3098	1.1	1195	2066	0.8	1376
Кz Ом		2146	1.3	838	1822	0.5	1210	266	-1.1	1049
Кz Бм		2251	1.1	1345	1953	0.1	1330	1933	-0.5	1659
Kz 35_50		3387	1.7	926	2763	1.1	772	2392	1.0	885
Kz 50_70		39	0.5	649	-267	-0.1	613	-1250	-1.8	806
Kz 35_70		1485	1.6	512	1024	0.6	480	263	-0.8	532
Кт Ям		1298	-1.1	612	1802	-0.6	548	264	-1.3	603
Кт Ом		1654	1.5	535	1431	0.6	487	890	0.5	650
Кт Бм	1000 гПа	1019	1.2	702	1219	1.4	297	885	0.2	640
Km 35_50	1000 111a	825	-0.1	265	1349	0.5	178	764	-0.7	257
Km 50_70		231	0.4	182	525	1.0	123	73	-0.5	205
Km 35_70		509	0.2	185	896	0.9	120	376	-0.8	182
Кт Ям		1930	-1.1	775	2442	-0.7	729	684	-1.3	707
Кт Ом		2894	1.4	608	2357	0.3	576	1576	-0.2	616
Кт Бм		2346	0.7	844	2159	0.7	518	2047	0.0	725
Km 35_50		2812	1.2	359	2761	0.1	254	2038	-0.5	348
Km 50_70		2082	1.2	234	1952	0.9	233	1440	-0.1	303
Km 35_70		2396	1.7	214	2297	0.8	176	1726	-0.2	244

^{*} Описание индексов приведено в разделе «Терминология».

Умеренные широты между 35° и 50° с. ш. над II е. с. р.

В зоне умеренных широт между 35° и 50° с. ш. над II е. с. р. перенос воздуха с запада на восток оставался преобладающим во всем слое тропосферы (зональные индексы положительные). Его интенсивность превышала норму (Kz равен 0.7STD и 1.0STD в средней тропосфере и у поверхности земли соответственно).

^{**} Климатические характеристики (STD, ASTD) рассчитаны относительно норм 1981–2010 гг.

Интенсивность меридиональных движений воздуха в средней тропосфере над указанной широтной зоной была очень слабой (|Km| равен -2,3STD), многолетний баланс между меридиональными составляющими незначительно нарушен в пользу южной компоненты обмена (Km-0.6STD). В нижнем слое тропосферы интенсивность межширотного обмена была незначительно слабее климатической (|Km| равен -0,5STD), многолетний баланс между меридиональными составляющими незначительно нарушен в пользу северной компоненты обмена (Km-0.7STD). В среднем за месяц во всем слое тропосферы сохранялось преобладание движений воздуха с юга (значения меридиональных индексов положительные).

Широтная зона 50-70° с. ш. над II е. с. р.

В средней тропосфере над широтной зоной 50– 70° с. ш. II е. с. р. преобладал западновосточный перенос воздуха (значение зонального индекса положительное), его интенсивность была слабой (Kz составлял -0,8STD). У поверхности земли доминировали движения воздуха с востока (значение зонального индекса отрицательное, Kz равен -1,8STD).

Интенсивность межширотного обмена в средней тропосфере над указанной широтной зоной была слабой (|Km| равен -1,0STD), при этом многолетний баланс между меридиональными составляющими близок к норме (Km-0,1STD). У поверхности земли межширотный обмен был близок к климатическому (|Km| равен -0,1STD), многолетний баланс между меридиональными составляющими незначительно нарушен в пользу северной компоненты обмена (Km--0,5STD). В среднем за месяц в средней тропосфере количество движений воздуха с севера было незначительно больше, чем с юга (значение меридионального индекса отрицательное); в нижнем слое незначительно преобладали движения с юга (значение индекса положительное).

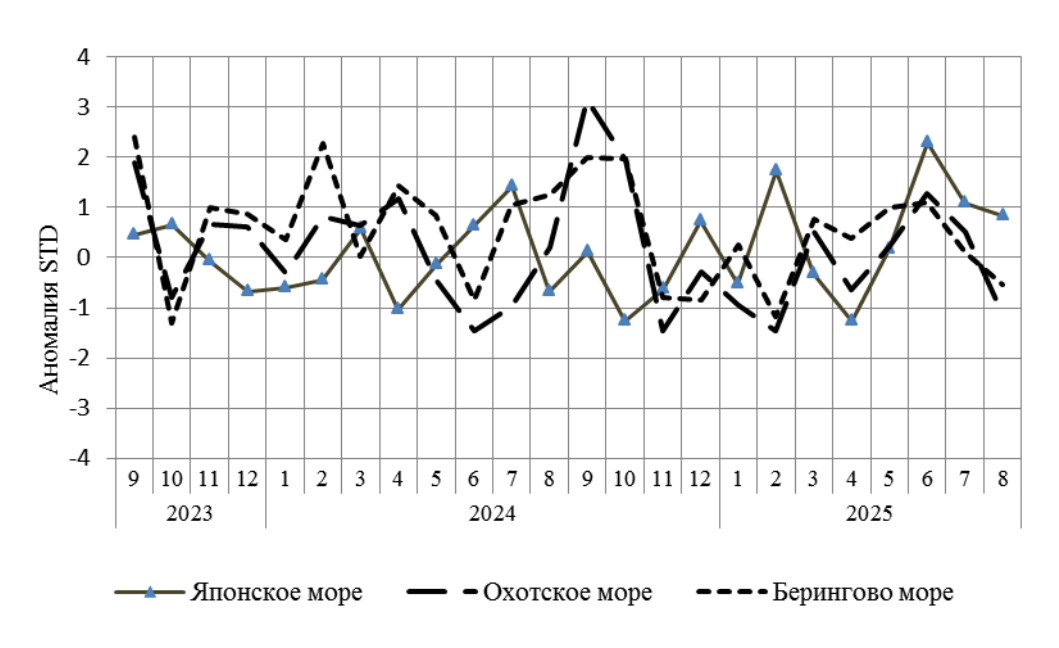


Рис. 1-6 Годовой ход стандартизованных аномалий индекса интегрального зонального переноса воздуха с учетом знака (Kz) в нижней тропосфере над дальневосточными морями

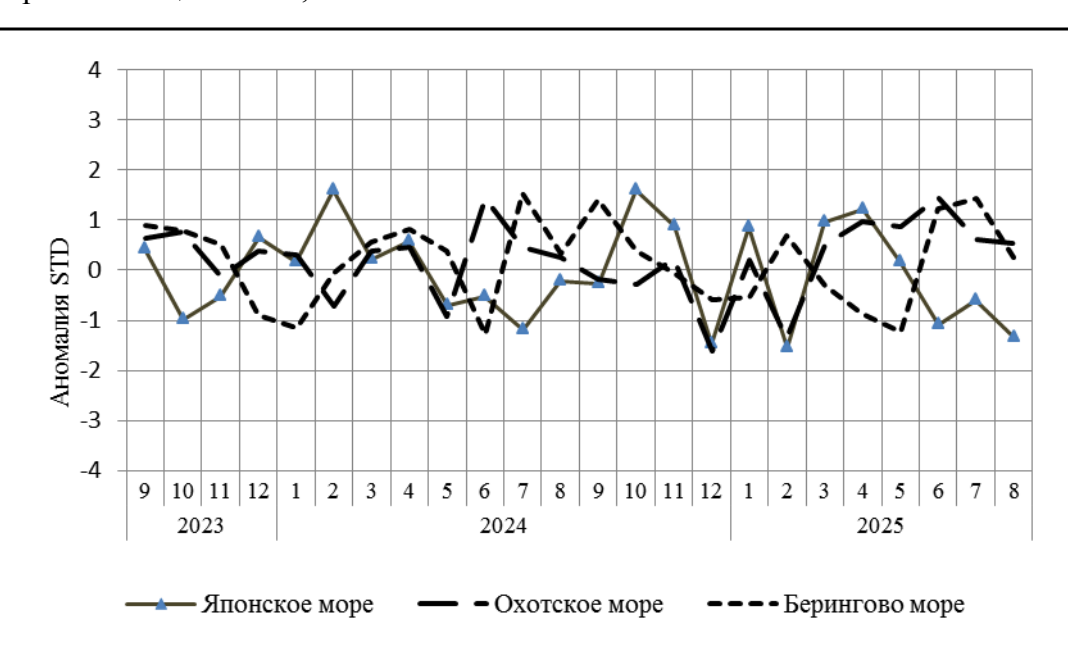


Рис. 1-7 Годовой ход стандартизованных аномалий индекса интегрального меридионального переноса воздуха с учетом знака (Кт) в нижней тропосфере над дальневосточными морями

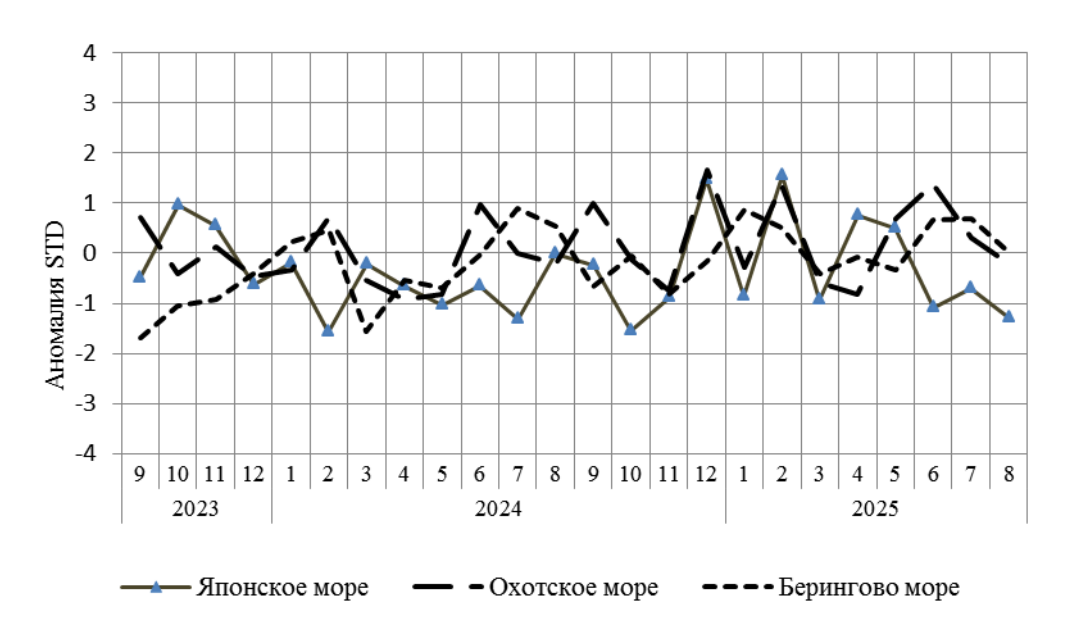


Рис. 1-8 Годовой ход стандартизованных аномалий индекса интегрального меридионального переноса воздуха без учета знака (|Km|) в нижней тропосфере над дальневосточными морями

1.3.2 Индекс засушливости Педя S для станций Приморского и Хабаровского краёв 1

Приморский край	Апрель	Май	Июнь	Июль	Август
Анучино	-0.3	0.7	2.2	3.0	0.5
Астраханка	0.7	0.9	1.6	1.2	0.0
Богополь	-1.4	1.8	3.3	3.3	-0.1
Владивосток	-0.3	1.1	2.5	4.3	2.5
Дальнереченск	2.3	0.6	1.3	3.5	0.2
Пограничный	-0.8	1.3	2.0	2.8	1.7
Посьет	0.7	1.5	3.6	4.4	2.0
Преображение	-2.0	0.0	2.2	4.5	0.7
Рощино	2.5	0.2			
Рудная Пристань	-0.2	2.0	3.5	4.7	1.0
Сосуново	0.2	1.7	3.0	5.5	1.9
Терней	0.2	1.9	3.6	6.0	1.9
Тимирязевский	0.1	1.4	2.9	3.0	1.7
Турий Рог	0.3	0.2	1.7	3.2	2.5
Хабаровский край	Апрель	Май	Июнь	Июль	Август
Аян	0.5	-5.1	1.7	-0.3	-0.7
Гвасюги	1.9	0.7	1.4	3.4	1.2
Екатерино-Никольское	1.0	0.0	0.1	3.7	0.6
Им. Полины Осипенко	0.7	-3.3	-1.6	-0.8	0.5
Комсомольск-на-Амуре	1.2	-0.4	0.0	0.4	0.4
Нелькан	3.0	0.1	0.0	0.8	1.6
Николаевск-на-Амуре	2.6	1.7	-0.2	-1.1	0.0
Охотск	0.7	-0.9	0.2	-2.3	-0.4
Сковородино	2.4	-0.2	1.0	-2.5	2.2
Софийский Прииск	1.4	0.3	1.2	0.1	0.5
Сутур	-0.3	0.0	0.7	1.8	0.9
Тумнин	1.0	0.3	2.2	2.5	0.6
Урми	0.7	1.0	1.4	1.4	1.7
Усть-Нюкжа	2.2	1.7	0.9	-0.9	-0.4
Хабаровск_	1.3	-0.4	1.3	1.6	1.1
Хуларин	1.1	0.3	1.7	0.7	0.6
Чекунда	-0.8	0.3	0.4	1.7	1.8
Чумикан	-0.3	-1.7	1.7	0.6	-0.6

Положительные значения индекса соответствуют засушливым условиям, отрицательные – условиям достаточного (избыточного) увлажнения при пониженном фоне температур. Для месячных значений S принято считать, что

- если 1<S<2, то засуха слабая, если -1>S>-2, то увлажнение слабое;
- если 2<S<3, то засуха умеренная, если -2>S>-3, то увлажнение умеренное;
- если S>3, то засуха сильная, если S<-3, то увлажнение сильное.

-

¹ См. раздел «Терминология бюллетеня».